

DOI: 10.7524/AJE.1673-5897.20160908001

杨丹, 周伟强, 杨彪, 等. PM<sub>2.5</sub>对人肺癌细胞 A549 迁移、侵袭能力的增强作用[J]. 生态毒理学报, 2017, 12(5): 243-250

Yang D, Zhou W Q, Yang B, et al. Enhancement effect of PM<sub>2.5</sub> on migration and invasion abilities of human lung carcinoma cell line (A549) [J]. Asian Journal of Ecotoxicology, 2017, 12(5): 243-250 (in Chinese)

## PM<sub>2.5</sub> 对人肺癌细胞 A549 迁移、侵袭能力的增强作用

杨丹<sup>1</sup>, 周伟强<sup>2</sup>, 杨彪<sup>2</sup>, 肖纯凌<sup>2,\*</sup>

1. 沈阳医学院 药理学教研室, 沈阳 110034

2. 沈阳医学院 辽宁省环境污染与微生态重点实验室, 沈阳 110034

收稿日期: 2016-09-08 录用日期: 2016-11-18

**摘要:** 为探讨 PM<sub>2.5</sub>(particulate matter 2.5)对人肺癌细胞 A549 迁移、侵袭能力的影响并探讨相关机制,采用含有不同浓度 PM<sub>2.5</sub>的无血清及抗生素培养液对 A549 细胞培养 72 h,利用 MTT 法检测 A549 细胞的增殖抑制率。根据 MTT 实验结果,选择适当的 PM<sub>2.5</sub>暴露浓度用于后续实验,以细胞划痕实验检测细胞迁移能力,transwell 小室实验检测细胞迁移、侵袭能力,Western Blotting 法检测细胞周期蛋白 D1(cyclin D1)、转录因子 snail 和 slug、基质金属蛋白酶-2(matrix metalloproteinase-2, MMP-2)、基质金属蛋白酶-9(matrix metalloproteinase-9, MMP-9)及胞核内 β-链蛋白(β-catenin)的蛋白表达水平。结果显示:细胞划痕实验结果显示 10 μg·mL<sup>-1</sup> PM<sub>2.5</sub>组 A549 细胞划痕创面愈合率为(46.34% ± 5.19%),与对照组比较显著增高( $P < 0.05$ );transwell 小室法迁移和侵袭实验结果显示 10 μg·mL<sup>-1</sup> PM<sub>2.5</sub>组穿膜细胞数平均为(165.67 ± 6.62)个和(47.83 ± 2.04)个,与对照组比较显著增多( $P < 0.05$ );Western Blotting 实验结果显示 PM<sub>2.5</sub>(10 μg·mL<sup>-1</sup>)可显著上调 A549 细胞 cyclin D1、snail、slug、MMP-2、MMP-9 和胞核内 β-catenin 蛋白表达水平。因此,PM<sub>2.5</sub>可通过提高 Wnt/β-catenin 通路活性及其下游 cyclin D1、snail、slug、MMP-2 和 MMP-9 的蛋白表达而增强 A549 细胞的迁移、侵袭能力。

**关键词:** PM<sub>2.5</sub>; 人肺癌细胞; A549; β-catenin; snail; slug; 金属蛋白酶-2; 金属蛋白酶-9; 细胞周期蛋白 D1

文章编号: 1673-5897(2017)5-243-08 中图分类号: X171.5 文献标识码: A

## Enhancement Effect of PM<sub>2.5</sub> on Migration and Invasion Abilities of Human Lung Carcinoma Cell Line (A549)

Yang Dan<sup>1</sup>, Zhou Weiqiang<sup>2</sup>, Yang Biao<sup>2</sup>, Xiao Chunling<sup>2,\*</sup>

1. Department of Pharmacology, Shenyang Medical College, Shenyang, 110034, China

2. Key Laboratory of Environmental Pollution and Microecology of Liaoning Province, Shenyang Medical College, Shenyang 110034, China

Received 8 September 2016 accepted 18 November 2016

**Abstract:** To investigate the effects and mechanisms of PM<sub>2.5</sub> on migration and invasion abilities in human lung cell line (A549), the A549 cells were cultured for 72 hours in the medium containing different concentrations of PM<sub>2.5</sub> without serum and antibiotics. The proliferation inhibition rate of A549 cells was detected by MTT assay. According to the experimental results of MTT, the appropriate concentration of PM<sub>2.5</sub> exposure was selected for subsequent experiments. The wound-healing assay was performed to observe the cell migration ability and the transwell assay was performed to observe the cell migration and invasion abilities. The protein expression levels of β-catenin

基金项目: 沈阳市科技局计划项目(No.F14-181-1-00); 辽宁省自然科学基金计划重点项目(No.20170520037)

作者简介: 杨丹(1978-), 女, 博士, 讲师, 研究方向为肿瘤学, E-mail: Ld\_love415@163.com

\* 通讯作者(Corresponding author), E-mail: xiaochunling2000@163.com

in the nucleus, cyclin D1, snail, slug, MMP-2 and MMP-9 were detected by Western Blotting method. The wound-healing assay showed that the wound-healing rate of group treated by PM<sub>2.5</sub> at the concentration of 10  $\mu\text{g}\cdot\text{mL}^{-1}$  was (46.34%  $\pm$  5.19%), which was increased significantly compared with the control group ( $P<0.05$ ). The transwell assay showed that the transwell cell numbers of group treated by PM<sub>2.5</sub> at the concentration of 10  $\mu\text{g}\cdot\text{mL}^{-1}$  were 165.67  $\pm$  6.62 and 47.83  $\pm$  2.04 for migration and invasion experiments respectively, which were increased significantly compared with the control group ( $P<0.05$ ). The Western Blotting assay showed that PM<sub>2.5</sub> (10  $\mu\text{g}\cdot\text{mL}^{-1}$ ) can significantly up-regulated the expression levels of  $\beta$ -catenin in the nucleus, cyclin D1, snail, slug, MMP-2 and MMP-9 in A549 cells. Thus, PM<sub>2.5</sub> can enhance the migration and invasion abilities of A549 cells through up-regulating the activity of Wnt/ $\beta$ -catenin pathway and the protein expression levels of its downstream proteins such as cyclin D1, snail, slug, MMP-2 and MMP-9.

**Keywords:** PM<sub>2.5</sub>; A549;  $\beta$ -catenin; snail; slug; MMP-2; MMP-9; cyclin D1

PM<sub>2.5</sub>是指空气动力学直径 $\leq 2.5 \mu\text{m}$ 的颗粒物,是构成可吸入颗粒物的主要部分<sup>[1]</sup>。众多流行病学调查均显示PM<sub>2.5</sub>与包括肺癌在内的呼吸系统疾病关系密切<sup>[2]</sup>。长期的PM<sub>2.5</sub>暴露能明显增加肺癌患者的死亡率,同时可致确诊后的肺癌患者的生存期缩短,说明PM<sub>2.5</sub>能够促进肺癌的进展<sup>[3-4]</sup>。肺癌的进展与其转移密切相关,有研究表明:PM<sub>2.5</sub>可能通过促进肿瘤新生血管形成、诱发炎症反应等促进肺癌转移,但其促进肺癌转移的具体机制仍不清楚<sup>[5-7]</sup>。以往对于PM<sub>2.5</sub>致呼吸系统损伤的分子机制的研究多集中于以较高浓度PM<sub>2.5</sub>所致的细胞损伤作用,而关于PM<sub>2.5</sub>对肿瘤细胞迁移及侵袭能力影响的实验研究仍较少,因此有必要进行更多及更深入的研究<sup>[8-11]</sup>。

本研究采用细胞划痕实验和transwell小室法检测PM<sub>2.5</sub>对人肺癌细胞A549迁移、侵袭能力的影响,以期进一步证实PM<sub>2.5</sub>具有促肺癌转移的作用。同时本研究采用Western Blotting法检测同细胞迁移、侵袭能力密切相关的Wnt/ $\beta$ catenin通路活性及其下游cyclin D1、MMP-2、MMP-9和转录因子snail、slug蛋白表达水平的变化,分析该信号通路在PM<sub>2.5</sub>影响肺癌细胞A549迁移、侵袭能力中的作用,为今后深入研究PM<sub>2.5</sub>促肺癌转移的机制提供实验依据。

## 1 材料与方法(Materials and methods)

### 1.1 细胞株和主要试剂

人肺癌细胞A549购自中国科学院上海细胞生物研究所细胞库。胰酶及RPMI 1640培养基(Gibco公司);Matrigel基质胶(BD公司);transwell小室(Costar公司);snail和slug抗体(CST公司);

MMP-2、MMP-9、 $\beta$ -catenin及cyclin D1抗体(Santa Cruz公司);细胞核蛋白抽提试剂盒(碧云天公司)。

### 1.2 PM<sub>2.5</sub>采集和处理

选择辽宁省沈阳市为采样地区,采样地点为城市中心。雾霾天气时运用高流量样品颗粒采集器采集PM<sub>2.5</sub>样品于滤膜上,采样高度为距离地面约1.5 m。连续自动采样6个月,以1.13  $\text{m}^3\cdot\text{min}^{-1}$ 流速每48小时采集1份。采样后的滤膜用铝箔纸包裹后于-20℃冰箱中保存。制备PM<sub>2.5</sub>悬液时将采样后的滤膜剪成约1 cm×1 cm大小,浸泡在50 mL去离子水中。超声震荡收集PM<sub>2.5</sub>颗粒物,用多层纱布过滤震荡液后制成PM<sub>2.5</sub>悬液。收集PM<sub>2.5</sub>悬液在13 000×g、4℃的条件下离心10 min后的底层颗粒物,高压灭菌后真空冷冻干燥,-80℃保存。染毒前用无菌生理盐水配制成所需的PM<sub>2.5</sub>混悬液并超声处理<sup>[12-13]</sup>。

### 1.3 细胞培养及处理

人肺癌A549细胞株用RPMI 1640培养基(含10%新生牛血清、1% L-谷氨酰胺及1%青链霉素)培养于37℃、5% CO<sub>2</sub>细胞培养箱中,细胞长满约90%时传代。取对数生长期的A549细胞,接种于培养皿或培养板内,于37℃、5% CO<sub>2</sub>条件下培养24 h后更换不含血清及抗生素的RPMI 1640培养基。次日向培养基中加入不同浓度PM<sub>2.5</sub>或TGF- $\beta$ <sub>1</sub>(10  $\text{ng}\cdot\text{mL}^{-1}$ )后持续培养72 h。

### 1.4 MTT比色法检测细胞增殖

设立实验组(PM<sub>2.5</sub>终浓度为2.5、10、40和160  $\mu\text{g}\cdot\text{mL}^{-1}$ )、对照组(只加细胞,不加PM<sub>2.5</sub>)和空白组(不加细胞,只加RPMI 1640培养基及PM<sub>2.5</sub>)。体外培养72 h后,每孔加入20  $\mu\text{L}$  MTT(终浓度5 g·L<sup>-1</sup>),37℃继续孵育4 h,弃上清,每孔加入150  $\mu\text{L}$

DMSO振荡10 min,用酶标仪在490 nm处测定吸光度(A)值,实验重复3次。按公式计算:

$$\text{细胞生长抑制率} = (A_{\text{处理组}} - A_{\text{空白组}}) / (A_{\text{对照组}} - A_{\text{空白组}}) \times 100\%$$

### 1.5 细胞划痕实验

将细胞分为正常对照组、TGF-β<sub>1</sub>(10 ng·mL<sup>-1</sup>)组和PM<sub>2.5</sub>(2.5 μg·mL<sup>-1</sup>、10 μg·mL<sup>-1</sup>)组。将处理后的细胞接种于6孔板中,每孔3 mL。待细胞生长至90%融合后用200 μL吸头在6孔板内垂直划痕,用PBS清洗细胞3次,加入无血清培养基继续培养24 h。实验分别于0 h和24 h时在倒置光学显微镜下观察并测量划痕伤口的宽度,计算创面愈合率=(1-24 h创面宽度/0 h创面宽度)×100%后进行统计分析( $\bar{x} \pm s$ ,n=6),以此判断细胞迁移能力。

### 1.6 Transwell小室侵袭、迁移实验

细胞分组同划痕实验。侵袭实验取200 μL细胞悬液种于铺好Matrigel胶的Transwell上室中,下室加入600 μL含10%血清的培养基,于37 °C、5%CO<sub>2</sub>细胞培养箱中孵育24 h,移出transwell小室,棉签擦去上室的非迁移细胞,4%甲醛固定30 min后用0.1%结晶紫染色15 min,冲洗干净后倒置风干。在倒置显微镜下观察并拍照,每个小室随机取6个视野拍照,计数穿膜细胞个数。细胞迁移试验不需要铺Matrigel胶,其余操作同侵袭实验。

### 1.7 胞核蛋白的抽提

按照细胞核蛋白与细胞浆蛋白抽提试剂盒说明进行。用PBS洗一遍,刮下细胞,每20 μL细胞沉淀加入200 μL细胞浆蛋白抽提试剂A。最高速剧烈涡旋5 s,冰浴10~15 min。加入细胞浆蛋白抽提试剂B 10 μL,最高速剧烈涡旋5 s,冰浴1 min,4 °C、13 000×g离心5 min。收集沉淀,加入50 μL细胞核蛋白抽提试剂。最高速剧烈涡旋30 s,把细胞沉淀完全悬浮并分散开。然后放回冰浴中,每隔1~2 min再高速剧烈涡旋30 s,共30 min。4 °C、13 000×g离心10 min,立即吸取上清,即为抽提得到的细胞核蛋白。

### 1.8 Western Blotting

收集细胞总蛋白,SDS-PAGE电泳后转印到PVDF膜上,用含5%脱脂奶粉的封闭液常温封闭1 h,加入一抗,4 °C反应过夜,再用辣根过氧化物酶标记的二抗室温下反应0.5 h,化学发光法显影;利用Image J软件对目的条带进行灰度值检测,以β-actin为内参照分析蛋白相对表达量。

### 1.9 统计学处理

计量资料用均数±标准差( $\bar{x} \pm s$ )表示。采用SPSS 20.0软件进行数据统计分析,多组比较采用单因素方差分析;不同组间的两两比较采用LSD-t检验。以P<0.05为差异有统计学意义。

## 2 结果(Results)

### 2.1 PM<sub>2.5</sub>对A549细胞增殖抑制作用

PM<sub>2.5</sub>处理A549细胞72 h后采用MTT法检测各组吸光度,计算PM<sub>2.5</sub>对A549细胞的增殖抑制率。如图1和表1所示,与对照组比较,2.5、10、40和160 μg·mL<sup>-1</sup>PM<sub>2.5</sub>组对A549细胞的增殖抑制率随浓度升高而增加,分别为(3.08% ± 3.73%)、(10.37% ± 5.97%)、(34.00% ± 6.39%)和(51.01% ± 8.37%)。选取对A549细胞增殖抑制作用较弱的2个浓度(2.5 μg·mL<sup>-1</sup>和10 μg·mL<sup>-1</sup>)进行后续实验。

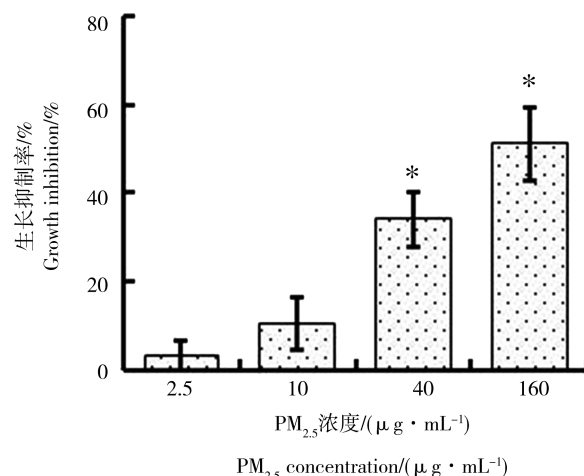


图1 PM<sub>2.5</sub>对A549细胞的生长抑制作用

Fig. 1 Inhibition of PM<sub>2.5</sub> on growth of A549

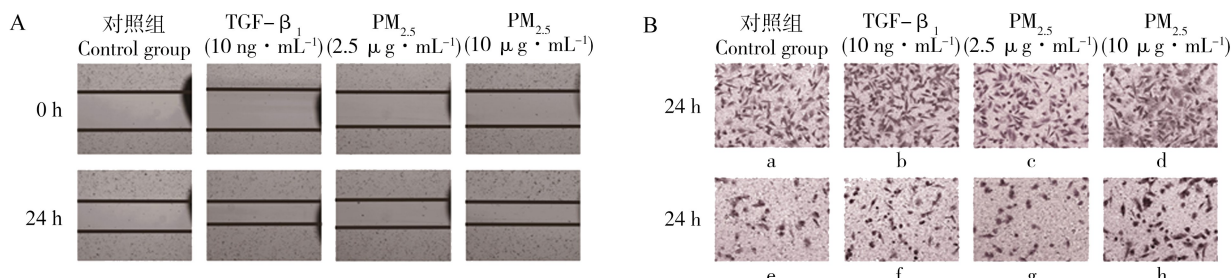
表1 PM<sub>2.5</sub>对A549细胞的生长抑制作用

Table 1 Inhibition of PM<sub>2.5</sub> on growth of A549

PM <sub>2.5</sub> /(μg·mL <sup>-1</sup> )	n	生长抑制率( $\bar{x} \pm s$ )/%
		Growth inhibition ( $\bar{x} \pm s$ )/%
对照组 Control group	6	0
2.5	6	3.08 ± 3.73
10	6	10.37 ± 5.97*
40	6	34.00 ± 6.39*
160	6	51.01 ± 8.37*
F值 F value		45.23

注:与对照组比较,\*为P<0.05。

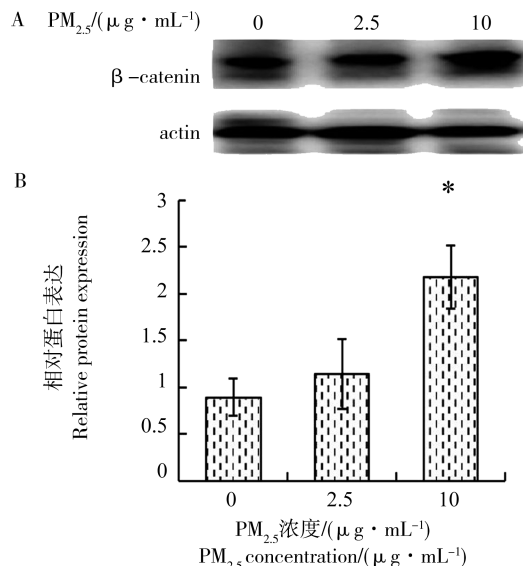
Note: compared with control group, \* P<0.05.

图 2 PM<sub>2.5</sub> 促进 A549 细胞的迁移和侵袭

注: A 为细胞划痕实验检测 A549 细胞迁移能力( $\times 50$ );B 为 Transwell 法检测 A549 细胞迁移能力(a~d)和侵袭能力(e~h)( $\times 200$ )。

Fig. 2 PM<sub>2.5</sub> promotes migration and invasion of A549 cells

Note: A showed the migration ability of A549 cells detected by wound healing assay ( $\times 50$ ); B showed the migration ability (a-d) and invasion ability (e-h) of A549 cells detected by transwell assay ( $\times 200$ ).

图 3 Western Blotting 法检测 PM<sub>2.5</sub> 处理 72 h 后细胞核内  $\beta$ -catenin 蛋白表达的变化

注:与对照组比较,\* 为  $P<0.05$ 。

Fig. 3 The expression levels of  $\beta$ -catenin proteins after exposure to PM<sub>2.5</sub> for 72 h were analyzed by Western Blotting

Note: compared with control group, \*  $P<0.05$ .

## 2.2 PM<sub>2.5</sub> 可增强 A549 细胞的迁移、侵袭能力

划痕实验结果如图 2A 和表 2 所示:划痕后 24 h, 对照组创面愈合率为( $31.97\% \pm 1.80\%$ )、 $2.5 \mu\text{g} \cdot \text{mL}^{-1}$  和  $10 \mu\text{g} \cdot \text{mL}^{-1}$  PM<sub>2.5</sub> 组创面愈合率分别为( $37.59\% \pm 3.08\%$ )和( $46.34\% \pm 5.19\%$ )。与对照组相比, $10 \mu\text{g} \cdot \text{mL}^{-1}$  PM<sub>2.5</sub> 组 A549 细胞的创面愈合率明显增加( $P<0.05$ )。Transwell 小室法迁移和侵袭实验结果如图 2B 和表 2 所示:对照组、 $2.5 \mu\text{g} \cdot \text{mL}^{-1}$  和  $10 \mu\text{g} \cdot \text{mL}^{-1}$  PM<sub>2.5</sub> 组中穿过基膜的细胞数分别为( $118.67 \pm 4.5$ )个和( $32.33 \pm 2.73$ )个,( $122.50 \pm 6.53$ )个和( $35.5 \pm 5.17$ )个,( $165.67 \pm 6.62$ )个和( $47.83 \pm 2.04$ )个。与对照组相比, $10 \mu\text{g} \cdot \text{mL}^{-1}$  PM<sub>2.5</sub> 组小室滤膜下表面的细胞个数明显增多( $P<0.05$ )。上述结果表明  $10 \mu\text{g} \cdot \text{mL}^{-1}$  PM<sub>2.5</sub> 可使 A549 细胞的迁移、侵袭能力增高。

## 2.3 PM<sub>2.5</sub> 增强 A549 细胞 Wnt/ $\beta$ -catenin 信号通路活性

PM<sub>2.5</sub> 处理 A549 细胞后,Western Blotting 法检测细胞核内  $\beta$ -catenin 蛋白表达的变化。结果如图 3 和表 3 所示:给予 A549 细胞  $2.5 \mu\text{g} \cdot \text{mL}^{-1}$  和  $10 \mu\text{g} \cdot \text{mL}^{-1}$  的 PM<sub>2.5</sub> 处理 72 h 后,与对照组相比, $10 \mu\text{g} \cdot \text{mL}^{-1}$

表 2 PM<sub>2.5</sub> 促进 A549 细胞的迁移和侵袭Table 2 PM<sub>2.5</sub> promotes migration and invasion of A549 cells

n	愈合率( $\bar{x} \pm s$ )/%		迁移细胞数( $\bar{x} \pm s$ )		侵袭细胞数( $\bar{x} \pm s$ )	
	Rate of wound healing ( $\bar{x} \pm s$ )/%	Number of migrated cells ( $\bar{x} \pm s$ )	Number of invaded cells ( $\bar{x} \pm s$ )	Number of invaded cells ( $\bar{x} \pm s$ )	Number of invaded cells ( $\bar{x} \pm s$ )	Number of invaded cells ( $\bar{x} \pm s$ )
对照组 Control group	6	$32.58 \pm 0.47$	$118.67 \pm 4.5$	$32.33 \pm 2.73$		
TGF- $\beta_1$ ( $10 \text{ ng} \cdot \text{mL}^{-1}$ )	6	$44.15 \pm 1.76^*$	$171.17 \pm 8.35^*$	$49.83 \pm 5.84^*$		
PM <sub>2.5</sub> ( $2.5 \mu\text{g} \cdot \text{mL}^{-1}$ )	6	$33.53 \pm 1.66$	$122.50 \pm 6.53$	$35.5 \pm 5.17$		
PM <sub>2.5</sub> ( $10 \mu\text{g} \cdot \text{mL}^{-1}$ )	6	$42.81 \pm 1.86^*$	$165.67 \pm 6.62^*$	$47.83 \pm 2.04^*$		

注:与对照组比较,\* 为  $P<0.05$ 。

Note: compared with control group, \*  $P<0.05$ .

PM<sub>2.5</sub>组细胞核内  $\beta$ -catenin 蛋白表达水平明显增高( $P<0.05$ )。

#### 2.4 PM<sub>2.5</sub>上调 A549 细胞中 cyclin D1、snail、slug、MMP-2 和 MMP-9 的蛋白表达

PM<sub>2.5</sub>处理 A549 细胞后, Western Blotting 法检测细胞内 cyclin D1、snail、slug、MMP-2 和 MMP-9 蛋白表达的变化。结果如图 4 和表 4 所示:给予 A549 细胞 2.5  $\mu\text{g}\cdot\text{mL}^{-1}$  和 10  $\mu\text{g}\cdot\text{mL}^{-1}$  的 PM<sub>2.5</sub>处理 72 h 后,与对照组相比,10  $\mu\text{g}\cdot\text{mL}^{-1}$  PM<sub>2.5</sub>组细胞内 cyclin D1、snail、slug、MMP-2 和 MMP-9 的蛋白表达明显增高( $P<0.05$ )。

### 3 讨论(Discussion)

肿瘤细胞的转移是肺癌患者复发以及治疗失败的重要原因。以往关于 PM<sub>2.5</sub>对肺癌影响的研究多集中其致癌细胞损伤或者死亡的作用方面<sup>[10, 14-16]</sup>,而关于 PM<sub>2.5</sub>是否可促进肺癌的早期转移的研究尚

少见报道。本研究通过 transwell 迁移、侵袭实验和细胞划痕实验检测 PM<sub>2.5</sub>对肺癌 A549 细胞迁移、侵袭能力的影响,结果显示在无血清条件下较低浓度(10  $\mu\text{g}\cdot\text{mL}^{-1}$ )的 PM<sub>2.5</sub>作用 72 h 即可明显增强肺癌细胞迁移、侵袭能力,说明 PM<sub>2.5</sub>可能具有促进肺癌

表 3 PM<sub>2.5</sub>对肺癌 A549 细胞核内  $\beta$ -catenin 蛋白相对表达的影响( $\bar{x}\pm s, n=6$ )

Table 3 The effect of PM<sub>2.5</sub> on the expression of  $\beta$ -catenin protein in A549 cells nucleus ( $\bar{x}\pm s, n=6$ )

PM <sub>2.5</sub> ( $\mu\text{g}\cdot\text{mL}^{-1}$ )	n	$\beta$ -catenin
对照组 Control group	6	0.90 $\pm$ 0.20
2.5	6	1.14 $\pm$ 0.37
10	6	2.17 $\pm$ 0.33*
<i>F</i> 值 <i>F</i> value		12.50

注:与对照组比较,\* 为  $P<0.05$ 。

Note: compared with control group, \*  $P<0.05$ .

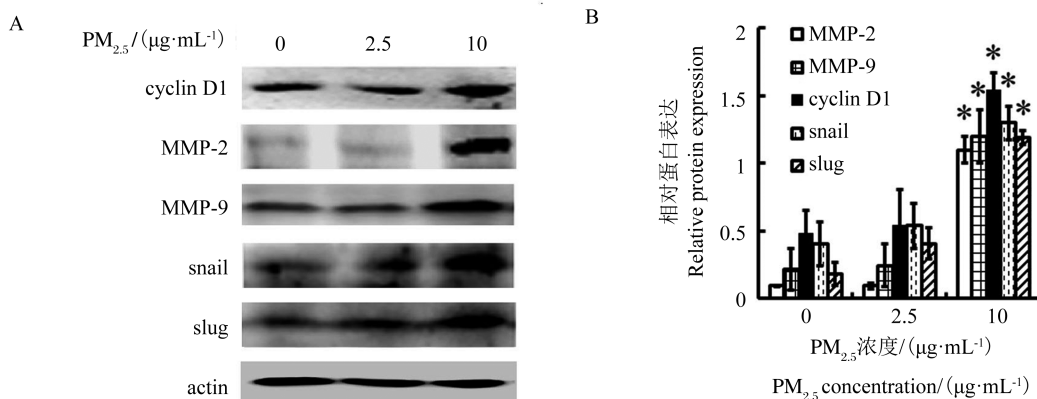


图 4 Western Blotting 法检测加入 PM<sub>2.5</sub> 72 h 后细胞内 cyclin D1、snail、slug、MMP-2 和 MMP-9 蛋白表达的变化

注:与对照组比较,\* 为  $P<0.05$ 。

Fig. 4 The expression levels of cyclin D1, snail, slug, MMP-2 and MMP-9 proteins after treated with PM<sub>2.5</sub> for 72 h

were analyzed by Western Blotting

Note: compared with control group, \*  $P<0.05$ .

表 4 PM<sub>2.5</sub>对肺癌 A549 细胞 cyclin D1、snail、slug、MMP-2 和 MMP-9 蛋白相对表达的影响( $\bar{x}\pm s, n=6$ )

Table 4 The effects of PM<sub>2.5</sub> on the expression of cyclin D1, snail, slug, MMP-2 and MMP-9 protein in A549 cells ( $\bar{x}\pm s, n=6$ )

PM <sub>2.5</sub> ( $\mu\text{g}\cdot\text{mL}^{-1}$ )	n	cyclin D1	snail	slug	MMP-2	MMP-9
对照组 Control group	6	0.48 $\pm$ 0.17	0.40 $\pm$ 0.16	0.18 $\pm$ 0.09	0.09 $\pm$ 0.01	0.21 $\pm$ 0.16
2.5	6	0.54 $\pm$ 0.26	0.54 $\pm$ 0.17	0.41 $\pm$ 0.11	0.09 $\pm$ 0.02	0.24 $\pm$ 0.16
10	6	1.54 $\pm$ 0.13*	1.30 $\pm$ 0.12*	1.19 $\pm$ 0.05*	1.10 $\pm$ 0.10*	1.20 $\pm$ 0.20*
<i>F</i> 值 <i>F</i> value		28.28	39.63	108.92	209.92	31.09

注:与对照组比较,\* 为  $P<0.05$ 。

Note: compared with control group, \*  $P<0.05$ .

的早期转移的作用。

肿瘤细胞的转移过程非常复杂,涉及多条信号通路、转录因子及酶的活化。Wnt/β-catenin 信号传导通路在肿瘤细胞转移过程中起着重要作用,该通路激活时,过量的 β-catenin 从胞质中转移入细胞核,在核内与转录因子 T 细胞因子/淋巴增强因子(T cell factor, TCF/lymphoid enhancer factor, LEF)相互作用,激活下游大量具有促进肿瘤细胞转移功能的基因转录,如基质金属蛋白酶、cyclin D1、slug、snail 等,进而增强肿瘤细胞转移能力<sup>[17-20]</sup>。本研究通过检测细胞核内 β-catenin 的表达水平证明在无血清条件下较低浓度的 PM<sub>2.5</sub>(10 μg·mL<sup>-1</sup>)作用 72 h 即可明显激活肺癌 A549 细胞 Wnt/β-catenin 信号通路。

基质金属蛋白酶家族是降解细胞外基质的重要酶类。肿瘤细胞周围细胞外基质的降解是肿瘤侵袭和转移的必要条件,因此金属蛋白酶家族在肿瘤细胞迁移和侵袭过程中发挥重要作用。多种肿瘤(包括非小细胞肺癌)中均可见金属蛋白酶家族过表达。基质金属蛋白酶-2 和基质金属蛋白酶-9 是基质金属蛋白酶家族内的重要成员,同属于 IV 型明胶酶,主要降解细胞间基质及基底膜主要成分 IV 型胶原,促进肿瘤细胞侵袭和扩散,因此其在肿瘤转移过程中具有重要作用<sup>[20-21]</sup>。研究表明:Wnt/β-catenin 信号通路的激活能够使 MMP-2 和 MMP-9 的表达水平增高<sup>[18]</sup>。如 Dong 等<sup>[22]</sup>的研究表明:电离辐射可通过激活 Wnt/β-catenin 信号通路使其下游包括 MMP-2 和 MMP-9 在内的多种基因表达上调,增强胶质瘤细胞 U87 侵袭能力。本研究中 Western Blotting 实验结果表明:在无血清条件下较低浓度(10 μg·mL<sup>-1</sup>)的 PM<sub>2.5</sub> 作用 72 h 即可使 MMP-2 和 MMP-9 蛋白表达水平的上调,说明 PM<sub>2.5</sub> 增强肺癌 A549 细胞迁移、侵袭能力作用与其激活 Wnt/β-catenin 信号通路并通过上调其下游 MMP-2 和 MMP-9 蛋白表达相关。

cyclin D1 是细胞周期蛋白家族的一个成员,在调控细胞周期进展过程中发挥重要作用,此外 cyclin D1 还是一个癌基因,在多种肿瘤包括肺癌中呈高表达<sup>[23-24]</sup>。越来越多的研究表明,cyclin D1 与肿瘤的转移关系密切<sup>[25]</sup>。如 Li 等<sup>[26]</sup>的报道称,cyclin D1 通过抑制 ROCK 信号和转移抑制因子 TSP-1 而增强细胞的运动能力。此外,细胞周期蛋白 D1 提高 MMPs 的表达和活性,从而提高侵袭性。如 Arato-Ohshima 等<sup>[27]</sup>的研究表明 cyclin D1 蛋白的过度

表达可增加 MMP-2 和 MMP-9 的活性并增强脑胶质瘤细胞的侵袭性。

锌指蛋白转录因子 snail 超家族包括 snail(snail 1)和 slug (snail 2)2 个成员,二者作为转录因子,调控某些基因的表达,如下调细胞间的紧密连接成分如 ZO-1 及上调肿瘤细胞的金属蛋白酶类的表达,这些均有助于增加细胞的迁徙转移力,尤其常见于各种肿瘤的癌性细胞向远处转移机制中<sup>[28-32]</sup>。如 Wang 等<sup>[33]</sup>的研究表明:snail 促进 MMP-9 表达,并且二者均与甲状腺乳头状癌的淋巴结转移有关。Li 等<sup>[34]</sup>报道 snail 介导的 MMP-2 上调与细胞侵袭性增强有关。Qiao 等<sup>[35]</sup>关于口腔鳞状细胞癌的研究证明:snail 通过上调 MMP-2 和 MMP-9 促进细胞发生上皮间质转化,转移能力增强。Bolos 等<sup>[36]</sup>和 Chandler<sup>[37]</sup>研究发现,slug 通过调控靶基因 MMP-2 影响细胞IV型胶原和明胶的降解,进而参与肿瘤细胞的侵袭与转移。Qiao 等<sup>[35]</sup>和 Yue 等<sup>[38]</sup>报道 slug 能够上调 MMP-9 的表达。Wnt/β-catenin 信号转导途径可调控 snail 和 slug 表达水平,当 Wnt 信号被激活,稳定的 β-catenin 进入细胞核内与 TCF/LEF 相互作用,形成的复合物可使 snail 和 slug 转录,核内水平增加<sup>[39]</sup>。

本研究中较低浓度的 PM<sub>2.5</sub>(10 μg·mL<sup>-1</sup>)作用 72 h 即可明显上调 cyclin D1、snail 和 slug 的蛋白表达水平,说明 Wnt/β-catenin 信号通路激活同时上调了某些其下游蛋白的表达,而这些蛋白的高表达又可进一步上调 MMP-2 和 MMP-9 的表达,促进肿瘤细胞的转移和侵袭。

综上所述,本研究发现将人肺癌 A549 细胞在无血清条件下暴露于较低浓度的 PM<sub>2.5</sub>(10 μg·mL<sup>-1</sup>) 72 h,能够使细胞的侵袭、转移能力增强,此作用与 PM<sub>2.5</sub> 活化 Wnt/β-catenin 信号传导通路,上调细胞 cyclin D1、MMP-2、MMP-9 及转录因子 snail 和 slug 的蛋白表达水平有关。

**通讯作者简介:**肖纯凌(1964-),女,博士,教授,博士生导师,研究方向为大气污染对呼吸道的影响机制及微生态。

#### 参考文献(References):

- [1] 李娟,杨维超,洪丽娟,等. PM<sub>2.5</sub> 对 BEAS-2B 细胞脂质过氧化损伤作用[J]. 中国公共卫生, 2014, 30(11): 1389-1391
- Li J, Yang W C, Hong L J, et al. Lipid peroxidation induced by PM<sub>2.5</sub> in human bronchial epithelial cells [J].

- Chinese Journal of Public Health, 2014, 30(11): 1389-1391 (in Chinese)
- [2] Kim J Y, Lee E Y, Choi I, et al. Effects of the particulate matter 2.5 (PM<sub>2.5</sub>) on lipoprotein metabolism, uptake and degradation, and embryo toxicity [J]. Molecules and Cells, 2015, 38(12): 1096-1104
- [3] Eckel S P, Cockburn M, Shu Y H, et al. Air pollution affects lung cancer survival [J]. Thorax, 2016, 71(10): 891-898
- [4] Xu X, Ha S, Kan H, et al. Health effects of air pollution on length of respiratory cancer survival [J]. BMC Public Health, 2013, 13: 800
- [5] Yue H, Yun Y, Gao R, et al. Winter polycyclic aromatic hydrocarbon-bound particulate matter from peri-urban north China promotes lung cancer cell metastasis [J]. Environmental Science and Technology, 2015, 49 (24): 14484-14493
- [6] Li X, Lv Y, Gao N, et al. microRNA-802/Rnd3 pathway imposes on carcinogenesis and metastasis of fine particulate matter exposure [J]. Oncotarget, 2016, 7(23): 35026-35043
- [7] 孟梅, 周泉生. PM<sub>2.5</sub>引起的肿瘤新生血管形成和转移的研究进展[J]. 科技导报, 2014, 32(26): 52-57
- Meng M, Zhou Q S. Progress in PM<sub>2.5</sub>-caused tumor neovascularization and metastasis [J]. Science Technology Review, 2014, 32(26): 52-57 (in Chinese)
- [8] Xing Y F, Xu Y H, Shi M H, et al. The impact of PM<sub>2.5</sub> on the human respiratory system [J]. Journal of Thoracic Disease, 2016, 8(1): E69-E74
- [9] Zhou W, Tian D, He J, et al. Repeated PM<sub>2.5</sub> exposure inhibits BEAS-2B cell P53 expression through ROS-Akt-DNMT3B pathway-mediated promoter hypermethylation [J]. Oncotarget, 2016, 7(15): 20691-20703
- [10] Deng X, Zhang F, Rui W, et al. PM<sub>2.5</sub>-induced oxidative stress triggers autophagy in human lung epithelial A549 cells [J]. Toxicology In Vitro, 2013, 27(6): 1762-1770
- [11] Vattanasit U, Navasumrit P, Khadka M B, et al. Oxidative DNA damage and inflammatory responses in cultured human cells and in humans exposed to traffic-related particles [J]. International Journal of Hygiene and Environmental Health, 2014, 217(1): 23-33
- [12] 牛佳玉, 肖纯凌, 陈冬梅, 等. PM<sub>2.5</sub>对高血压(SHR/NCrl)大鼠呼吸道菌群的影响[J]. 卫生研究, 2016, 45 (4): 648-652
- Niu J Y, Xiao C L, Chen D M, et al. Effect of PM<sub>2.5</sub> on respiratory tract flora in SHR/NCrl rats [J]. Journal of Hygiene Research, 2016, 45(4): 648-652 (in Chinese)
- [13] 杨彪, 李新鸣, 严思远, 等. PM<sub>2.5</sub>暴露对鸦胆子油乳治疗荷瘤肺癌小鼠腹腔巨噬细胞的作用[J]. 中国当代医药, 2016, 23(6): 15-21
- Yang B, Li X M, Yan S Y, et al. Effect of PM<sub>2.5</sub> exposure for peritoneal macrophages of tumor-bearing mice with lung cancer treated by bruceolic oil emulsion [J]. China Modern Medicine, 2016, 23(6): 15-21 (in Chinese)
- [14] Zou Y, Jin C, Su Y, et al. Water soluble and insoluble components of urban PM<sub>2.5</sub> and their cytotoxic effects on epithelial cells (A549) *in vitro* [J]. Environmental Pollution, 2016, 212: 627-635
- [15] Wang H, Guo Y, Liu L, et al. DDAH1 plays dual roles in PM<sub>2.5</sub> induced cell death in A549 cells [J]. Biochimica Biophysica Acta, 2016, 1860(12): 2793-2801
- [16] Li X, Ding Z, Zhang C, et al. MicroRNA-1228(\*) inhibit apoptosis in A549 cells exposed to fine particulate matter [J]. Environmental Science and Pollution Research, 2016 , 23(10): 10103-10113
- [17] Ben-Josef E, George A, Regine W F, et al. Glycogen synthase kinase 3 beta predicts survival in resected adenocarcinoma of the pancreas [J]. Clinical Cancer Research, 2015, 21(24): 5612-5618
- [18] Park B B, Yoon J, Kim E, et al. Inhibitory effects of eu-patilin on tumor invasion of human gastric cancer MKN-1 cells [J]. Tumor Biology, 2013, 34(2): 875-885
- [19] 杨丹, 王丽, 李珠, 等. 棉酚通过Akt/β-catenin通路抑制胃癌细胞迁移[J]. 中国药理学通报, 2015, 31(6): 860-864
- Yang D, Wang L, Li Z, et al. Inhibitory effect of gossypol on migration of gastric carcinoma cell lines through Akt / β-catenin passway [J]. Chinese Pharmacological Bulletin, 2015, 31(6): 860-864 (in Chinese)
- [20] Pei S, Yang X, Wang H, et al. Plantamajoside, a potential anti-tumor herbal medicine inhibits breast cancer growth and pulmonary metastasis by decreasing the activity of matrix metalloproteinase-9 and -2 [J]. BMC Cancer, 2015, 15: 965
- [21] Lu X, Duan L, Xie H, et al. Evaluation of MMP-9 and MMP-2 and their suppressor TIMP-1 and TIMP-2 in adenocarcinoma of esophagogastric junction [J]. Journal of Oncotargets and Therapy, 2016, 9: 4343-4349
- [22] Dong Z, Zhou L, Han N, et al. Wnt/β-catenin pathway involvement in ionizing radiation-induced invasion of U87 glioblastoma cells [J]. Strahlentherapie und Onkologie, 2015, 191(8): 672-680
- [23] Hwang S J, Lee H W, Kim H R, et al. Overexpression of microRNA-95-3p suppresses brain metastasis of lung adenocarcinoma through downregulation of cyclin D1 [J]. Oncotarget, 2015, 6(24): 20434-20448

- [24] Gautschi O, Ratschiller D, Gugger M, et al. Cyclin D1 in non-small cell lung cancer: A key driver of malignant transformation [J]. *Lung Cancer*, 2007, 55: 1-14
- [25] Drobnjak M, Osman I, Scher H I, et al. Overexpression of cyclin D1 is associated with metastatic prostate cancer to bone [J]. *Clinical Cancer Research*, 2000, 6: 1891-1895
- [26] Li Z, Wang C, Jiao X, et al. Cyclin D1 regulates cellular migration through the inhibition of thrombospondin 1 and ROCK signaling [J]. *Molecular and Cellular Biology*, 2006, 26: 4240-4256
- [27] Arato-Ohshima T, Sawa H. Over-expression of cyclin D1 induces glioma invasion by increasing matrix metalloproteinase activity and cell motility[J]. *International Journal of Cancer*, 1999, 83: 387-392
- [28] Miyoshi A. Snail accelerates cancer invasion by upregulating MMP expression and is associated with poor prognosis of hepatocellular carcinoma [J]. *British Journal of Cancer*, 2005, 92(2): 252-258
- [29] Li D, Sun H, Sun W J, et al. Role of RbBP5 and H3K4me3 in the vicinity of snail transcription start site during epithelial- mesenchymal- transition in prostate cancer cell [J]. *Oncotarget*, 2016, 7(40): 65553-65567
- [30] Ito K, Park S H, Nayak A, et al. PTK6 inhibition suppresses metastases of triple-negative breast cancer via Snail-dependent E-cadherin regulation [J]. *Cancer Research*, 2016, 76(15): 4406-4417
- [31] Yin S, Wang P, Yang L, et al. Wip1 suppresses ovarian cancer metastasis through the ATM/AKT/Snail mediated signaling [J]. *Oncotarget*, 2016, 7(20): 29359-29370
- [32] Zhang J, Liu Y, Zhang J, et al. FOXQ1 promotes gastric cancer metastasis through upregulation of snail [J]. *Oncology Reports*, 2016, 35(6): 3607-3613
- [33] Wang N, Jiang R, Yang J Y, et al. Expression of TGF- $\beta$ 1, SNAI1 and MMP-9 is associated with lymph node metastasis in papillary thyroid carcinoma [J]. *Journal of Molecular Histology*, 2014, 45(4): 391-399
- [34] Li Y, Klausen C, Zhu H, et al. Activin A increases human trophoblast invasion by inducing Snail-mediated MMP2 up-regulation through ALK4 [J]. *The Journal of Clinical Endocrinology and Metabolism*, 2015, 100(11): E1415-E1427
- [35] Qiao B, Johnson NW, Gao J. Epithelial-mesenchymal transition in oral squamous cell carcinoma triggered by transforming growth factor-beta1 is Snail family-dependent and correlates with matrix metalloproteinase-2 and -9 expressions[J]. *International Journal of Oncology*, 2010, 37(3): 663-668
- [36] Bolos V, Peinado H, Pérez-Moreno M A, et al. The transcription factor Slug represses E-cadherin expression and induces epithelial to mesenchymal transitions: A comparison with Snail and E47 repressors [J]. *Journal of Cell Science*, 2003, 116 (Pt3): 499-511
- [37] Chandler H L, Kusewitt D F, Colitz C M. Modulation of matrix metalloproteinases by ultraviolet radiation in the canine cornea [J]. *Veterinary Ophthalmology*, 2008, 11(3): 135-144
- [38] Yue B, Ren Q X, Su T, et al. ERK5 silencing inhibits invasion of human osteosarcoma cell via modulating the Slug/MMP-9 pathway [J]. *European Review for Medical Pharmacological Sciences*, 2014, 18(18): 2640-2647
- [39] 刘锦华, 唐旭东. Slug 的分子调控机制[J]. 生命的化学, 2013, 33(5): 554-562  
Liu J H, Tang X D. Molecular mechanisms of regulation of Slug [J]. *Chemistry of Life*, 2013, 33(5): 554-562 (in Chinese) ◆